

УДК 629.78 : 681.51

## СТАБИЛИЗАЦИЯ КОСМИЧЕСКОГО АППАРАТА С НЕСИММЕТРИЧНОЙ УПРУГОЙ КОНСТРУКЦИЕЙ НА ГЕОСТАЦИОНАРНОЙ ОРБИТЕ

© 2019 С.Е. Сомов<sup>1,2</sup>, Т.Е. Сомова<sup>2</sup>

<sup>1</sup> Самарский федеральный исследовательский центр Российской академии наук

<sup>2</sup> Самарский государственный технический университет

Статья поступила в редакцию 10.10.2019

Анализируются подходы к исследованию первоочередных задач долговременной угловой стабилизации информационных спутников и космических роботов с несимметричной упругой конструкцией на геостационарной орбите.

**Ключевые слова:** космический аппарат, несимметричная упругая конструкция, геостационарная орбита, стабилизация

*Работа поддержана РФФИ, грант 17-08-01708.*

### ВВЕДЕНИЕ

Рассматривается космический аппарат (КА) с несимметричной упругой конструкцией на геостационарной орбите (ГСО), в частности геостационарный информационный спутник (связи, геодезии, землеобзора и др.) с крупногабаритными упругими навесными конструктивными элементами – антеннами, рефлекторами и панелями солнечных батарей (СБ), либо космический робот с несимметрично распределённой упругой полезной нагрузкой. В процессе движения такого КА с длительным сроком активного существования (САС) нормаль к плоскости панелей СБ направлена на Солнце, изменяются тензор инерции и масса КА за счет расхода топлива для удержания его на ГСО. В системе управления движением (СУД) космического аппарата применяются астроинерциальная система определения углового положения (СОУП) и аппаратура спутниковой навигации, кластер электромеханических исполнительных органов (ЭМИО) в виде двигателей-маховиков (ДМ) либо гиродинов (ГД), а также двигательная установка (ДУ) с широтно-импульсной модуляцией (ШИМ) тяги реактивных двигателей (РД), которая используется также для разгрузки кластера ЭМИО от накопленного кинетического момента (КМ). Несимметричность конструкции КА приводит к существенному темпу накопления импульса

Сомов Сергей Евгеньевич, научный сотрудник отдела «Динамики и управления движением» СамНЦ РАН; научный сотрудник отдела «Навигации, наведения и управления движением» НИИ Проблем надежности механических систем СамГТУ. E-mail s\_somov@mail.ru  
Сомова Татьяна Евгеньевна, научный сотрудник отдела «Навигации, наведения и управления движением» НИИ Проблем надежности механических систем СамГТУ. E-mail te\_somova@mail.ru

возмущающего момента из-за влияния сил солнечного давления (ССД), что создает проблемы разгрузки кластера ЭМИО от накопленного КМ и удержания КА на ГСО при длительном САС. Указанные проблемы управления движением КА изучаются [1], в том числе с выполнением экспериментов в космических условиях [2].

Если принять конструкцию КА в виде твердого тела, то при стандартных обозначениях модель динамики его пространственного движения имеет общеизвестный вид [3]

$$m \dot{\mathbf{v}} - \mathbf{L} \times \dot{\boldsymbol{\omega}} - \boldsymbol{\omega} \times (\mathbf{L} \times \boldsymbol{\omega}) = \mathbf{R},$$

$$\mathbf{L} \times \dot{\mathbf{v}} + \dot{\mathbf{K}} + \boldsymbol{\omega} \times \mathbf{K} = \mathbf{M},$$

где  $m$  – масса КА;  $\mathbf{v}$  – вектор скорости его поступательного движения,  $\dot{\mathbf{v}} = \mathbf{v}^* + \boldsymbol{\omega} \times \mathbf{v}$ , где  $(\cdot)^*$  – символ локальной производной по времени;  $\mathbf{L} = m \boldsymbol{\rho}_c$  – вектор статического момента; вектор  $\boldsymbol{\rho}_c$  представляет расположение центра масс С в связанной системе координат (ССК);  $\mathbf{K} = \mathbf{J} \boldsymbol{\omega}$  – вектор КМ,  $\mathbf{R}$  и  $\mathbf{M}$  – главные векторы внешних сил и моментов, представленные в полюсе О ССК. Физически эти векторы формируются в отношении центра масс С, что учитывается при расчете векторов  $\mathbf{R}$  и  $\mathbf{M}$  относительно полюса О. С другой стороны, в силу технологических условий установки РД на корпусе КА ось действия суммарной тяги КДУ проходит точно через полюс О и при коррекции орбитального движения КА возникает возмущающий момент ДУ. При этом СУД обеспечивает стабилизацию требуемого углового движения спутника и в кластере ЭМИО с вектором КМ  $\mathbf{H}$  происходит накопление вектора суммарного КМ  $\mathbf{G} = \mathbf{K} + \mathbf{H}$  механической системы, обусловленного всеми видами внешних возмущающих моментов.

Для геостационарных КА при разгрузке кластера ЭМИО от накопленного КМ и коррекции орбитального движения спутника иногда применяется ДУ на основе только электрореактивных двигателей (ЭРД). Одновременное создание внешних сил и моментов с помощью ЭРД является актуальной проблемой управления движением информационных спутников [4], для ее решения разработаны алгоритмы управления ДУ на основе восьми ЭРД с ШИМ их тяги [5,6]. Алгоритмы фильтрации измерений, полетной юстировки и калибровки астроинерциальной СОУП описаны в [7]–[9]. В статье представляются подходы к исследованию первоочередных задач: 1) анализ потребной области вариации КМ кластера ЭМИО для компенсации влияния ССД; 2) синтез цифрового управления кластером ЭМИО; 3) анализ динамики СУД в режиме угловой стабилизации при решении целевых задач.

## МАТЕМАТИЧЕСКИЕ МОДЕЛИ

Вводятся инерциальная (ИСК), связанная (ССК)  $Oxyz$  и орбитальная (ОСК)  $Ox^0y^0z^0$  системы координат с началом в полюсе О, который совпадает с номинальным положением центра масс С КА. Положение ССК относительно ИСК определяется кватернионом  $\Lambda$ , относительно ОСК – вектором-столбцом  $\Phi = \{\phi_1, \phi_2, \phi_3\}$ , составленном из углов рыскания  $\phi_1 = \psi$ , крена  $\phi_2 = \varphi$  и тангажа  $\phi_3 = \theta$ , которые используются в последовательности 132 при индексах осей

$i = 1, 2, 3$ . Далее применяются обозначения  $[ \cdot ]$  – строка,  $\{ \cdot \}$  – столбец,  $( \cdot )^t$  – символ транспонирования,  $[\mathbf{a} \times]$  – косо-симметрическая матрица на основе вектора  $\mathbf{a}$ .

Схема геостационарного информационного спутника с несимметричной конструкцией представлена на рис. 1, а схемы минимально-избыточных кластеров ЭМИО на основе ДМ и ГД с областями вариации их нормированного КМ – на рис. 2 и рис. 3 соответственно.

Кинематические уравнения для кватерниона  $\Lambda$  имеет вид  $\dot{\Lambda} = \Lambda \circ \omega / 2$ . Если  $\Lambda^p(t)$  и  $\omega^p(t)$  представляют закон наведения КА в ИСК, то кватернион погрешности  $E(t) \equiv (e_0(t), e(t)) = \tilde{\Lambda}^p(t) \circ \Lambda(t)$ , угловые погрешности определяются столбцом  $\delta\Phi = \{\delta\phi_i\} = 2e_0\mathbf{e}$  и матрицей  $C^e = I_3 - 2[\mathbf{e} \times]Q_e^t$ , где  $Q_e = I_3e_0 + [\mathbf{e} \times]$ , а вектор погрешности стабилизации скорости  $\delta\omega(t) = \{\delta\omega_i\} = \omega(t) - C^e\omega^p(t)$ .

В ССК оси вращения четырех ДМ в составе кластера по схеме *General Electric (GE)* располагаются на поверхности конуса с углом полу-расщепления  $\gamma$ , рис. 2. Столбцы  $\mathbf{H} = \{H_i\}$  и  $\mathbf{h} = \{h_p\}$ ,  $h_p = J_r\Omega_p$ ,  $p = 1 \dots 4$  представляют векторы КМ кластера ДМ и отдельных четырех ДМ, которые связаны соотношением  $\mathbf{H} = A_\gamma \mathbf{h}$ , где прямоугольная матрица  $A_\gamma$  составлена из ортов осей вращения ДМ в ССК. Угловые скорости  $\Omega_p$  и ускорения  $\dot{\Omega}_p$  всех четырех ДМ с одинаковым моментом инерции  $J_r$  ограничены по модулю. Реактивный момент класте-

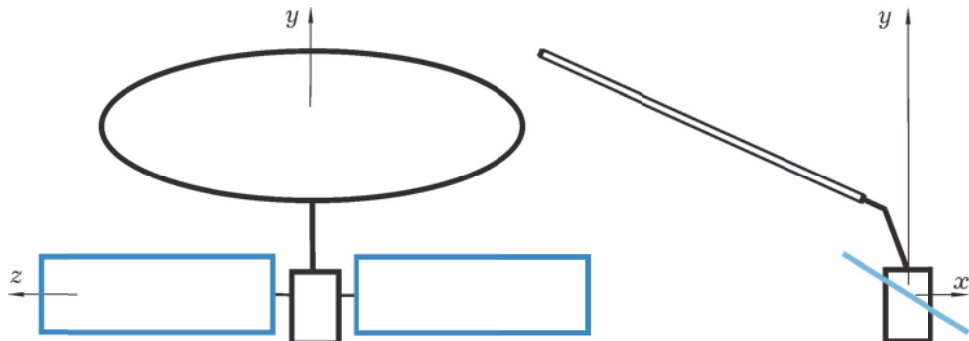


Рис. 1. Схема геостационарного спутника с несимметричной конструкцией

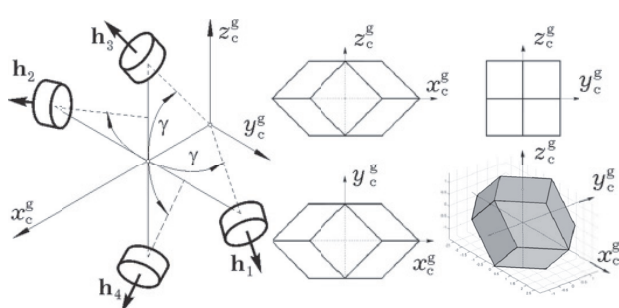


Рис. 2. Схема GE кластера ДМ

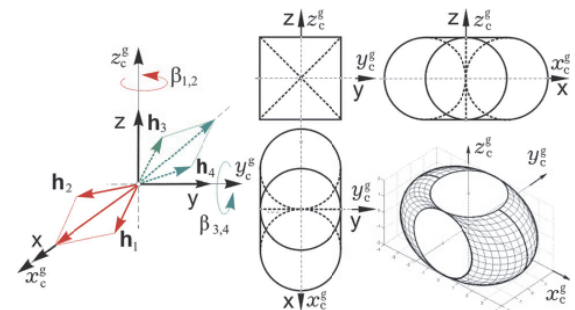


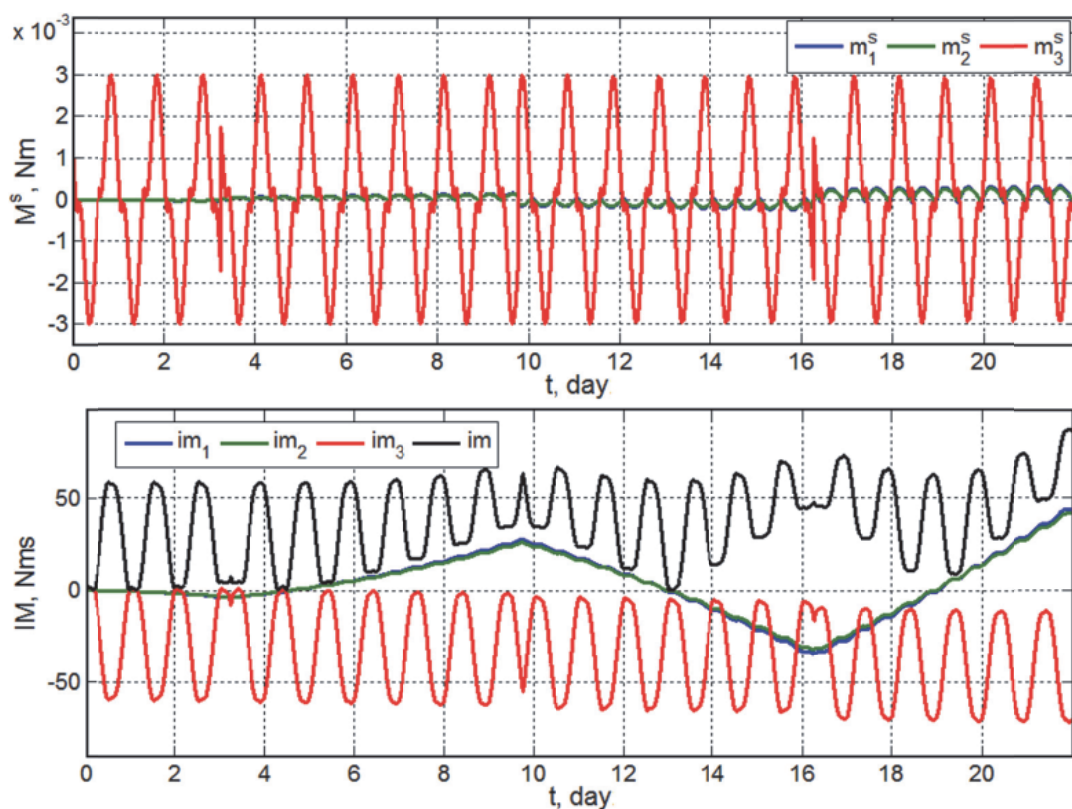
Рис. 3. Схема 2-SPE кластера ГД

ра ДМ  $\dot{\mathbf{M}}^r = -\mathbf{H}^* = -J_r \mathbf{A}_\gamma \dot{\boldsymbol{\Omega}}$  со столбцом  $\dot{\boldsymbol{\Omega}} = \{\dot{\Omega}_p\}$  угловых ускорений ДМ принимается в виде  $\dot{\mathbf{M}}^r = -\mathbf{A}_\gamma (\mathbf{m} - \mathbf{m}^f)$ , где  $\mathbf{m} = \{m_p\}$  и  $\mathbf{m}^f = \{m_p^f\}$  – столбцы моментов управления и сухого трения по осям вращения ДМ.

Кластер четырех ГД с одинаковым модулем КМ  $h^g$  по схеме *Scissored Pair Ensemble (2-SPE)*, рис. 3, имеет вектор КМ  $\mathbf{H}(\beta) = \{\mathbf{H}_i\} = h^g \sum \mathbf{h}_p(\beta_p)$ , где  $\mathbf{h}_p(\beta_p)$ ,  $p = 1 \div 4$ , является ортом КМ  $p$ -го ГД и столбец  $\beta = \{\beta_p\}$  составлен из углов поворота ГД относительно осей их подвеса на корпусе КА. Кластер ГД формирует управляющий момент  $\mathbf{M}^g(\beta, \dot{\beta}) = -\mathbf{H}^* = -h^g \mathbf{A}_h(\beta) \mathbf{u}^g; \dot{\beta} = \mathbf{u}^g$ , где матрица Якоби  $\mathbf{A}_h(\beta) = \partial \mathbf{h} / \partial \beta$  и «управлением» считается вектор-столбец  $\mathbf{u}^g = \{u_p^g\}$  с компонентами  $u_p^g$  командных скоростей поворота гироскопов ГД, ограниченных по модулю.

Для исключения избыточности указанных кластеров ЭМИО применяются явные законы их настройки. Так, в [10] описан закон настройки кластера четырех ГД, гарантирующий отсутствие сингулярных состояний в «рабочей» части области вариации его КМ.

Модель пространственного движения КА с упругими подвижными элементами конструкции подробно представлена в [11,12], поэтому без детализации обозначений модель динамики КА приближенно принимается в векторно-матричном виде



**Рис. 4.** Момент и импульс момента ССД, три недели после весеннего равноденствия: отметка 0 суток соответствует времени 20.03.2019 12:00:00

$$\begin{aligned} & \begin{bmatrix} m \mathbf{I}_3 & -[\mathbf{L} \times] & \mathbf{M}_q \\ [\mathbf{L} \times] & \mathbf{J} & \mathbf{D}_q \\ \mathbf{M}_q^t & \mathbf{D}_q^t & \mathbf{A}^q \end{bmatrix} \begin{bmatrix} \dot{\mathbf{v}} \\ \dot{\boldsymbol{\omega}} \\ \ddot{\mathbf{q}} \end{bmatrix} \\ &= \begin{bmatrix} \boldsymbol{\omega} \times (\mathbf{L} \times \boldsymbol{\omega} - 2\dot{\mathbf{L}}) + \mathbf{R} \\ -\boldsymbol{\omega} \times \mathbf{G} + \mathbf{M}_\omega^p + \mathbf{M}^c + \mathbf{M} \\ -\mathbf{A}^q (\mathbf{V}_q \dot{\mathbf{q}} + \mathbf{W}_q \mathbf{q}) + \mathbf{M}_q^p \end{bmatrix}. \quad (1) \end{aligned}$$

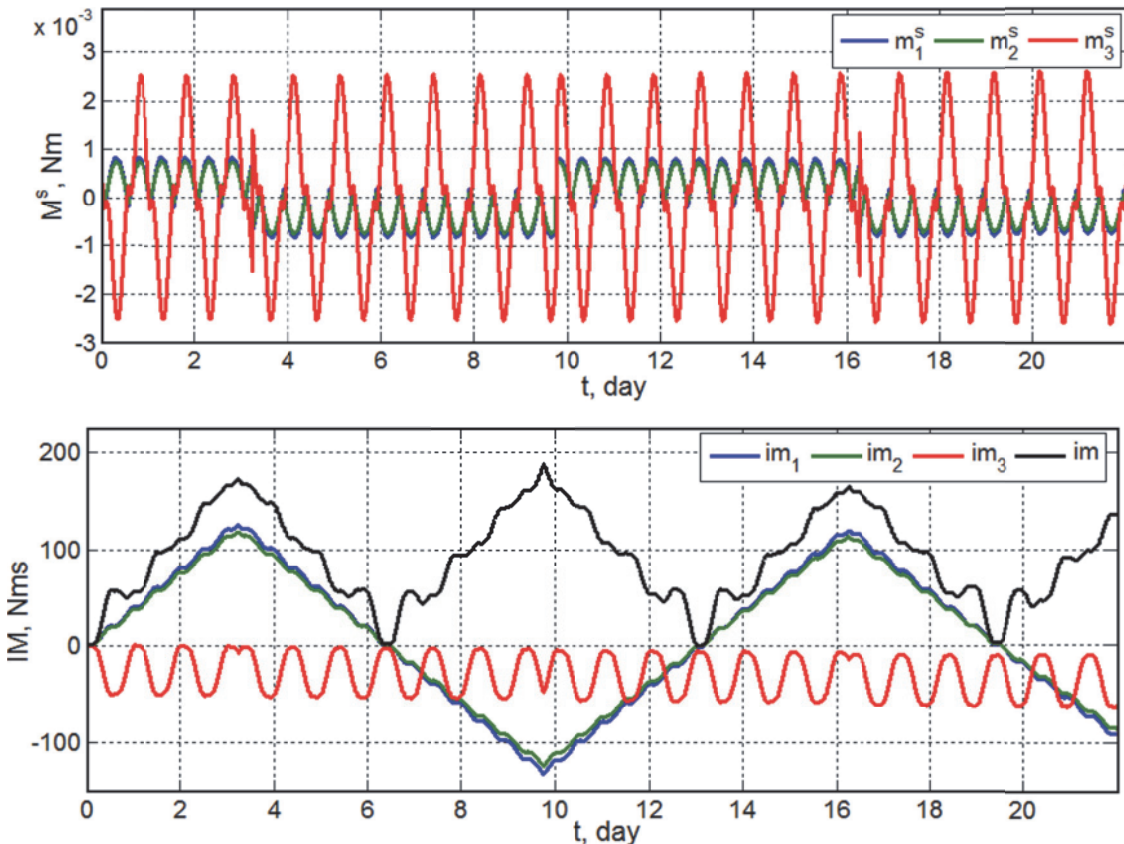
Здесь  $\mathbf{q}$  – столбец упругих перемещений конструкции;  $\mathbf{M}_q$  и  $\mathbf{D}_q$  – матрицы влияния упругих перемещений на движение КА,  $\mathbf{A}^q$ ,  $\mathbf{V}_q$  и  $\mathbf{W}_q$  – матрицы обобщенных масс, демпфирования и нормированной жесткости конструкции КА;  $\mathbf{G} = \mathbf{K} + \mathbf{H} + \mathbf{D}_q \dot{\mathbf{q}}$ ;  $\mathbf{L} = \mathbf{M}_q \mathbf{q}$ ;  $\mathbf{M}_\omega^p$  и  $\mathbf{M}_q^p$  – векторы моментов, обусловленных угловым перемещением панелей СБ;

$$\mathbf{R} = \mathbf{R}^{gr} + \mathbf{R}^s + \mathbf{R}^e \text{ и } \mathbf{M} = \mathbf{M}^{gr} + \mathbf{M}^s + \mathbf{M}^e$$

представляют векторы внешних сил и моментов, обусловленных гравитационным (индекс *gr*) влиянием Земли, Луны и Солнца, влиянием ССД (индекс *s*) и работой ДУ на основе ЭРД (индекс *e*); вектор  $\mathbf{M}^c$  представляет управляющий момент ЭМИО, при этом  $\mathbf{M}^c = \mathbf{M}'$  для кластера четырех ДМ и  $\mathbf{M}^c = \mathbf{M}^g$  для кластера четырех ГД.

#### ПОТРЕБНАЯ ОБЛАСТЬ ВАРИАЦИИ КМ КЛАСТЕРА ЭМИО

Силы солнечного давления являются основным внешним возмущением при движении



**Рис. 5.** Момент и импульс момента ССД, три недели после зимнего солнцестояния:  
отметка 0 суток соответствует времени 21.12.2019 12:00:00

нии КА по ГСО. Для оценки потребной области вариации КМ кластера ЭМИО с компенсацией влияния ССД рассмотрим режим угловой стабилизации ССК спутника с несимметричной конструкцией (рис. 1) в ОСК, когда углы  $\phi_i \equiv 0$ . При этом предлагается с периодичностью порядка 1 недели выполнять разворот корпуса спутника на угол 180 градусов относительно оси  $Ox$  ССК, совпадающей в данном случае с осью  $Ox^o$  ОСК. Будем считать заданными в ССК положение центра давления  $(1, -1.8, 0)$  м двух панелей СБ суммарной площадью 60 кв.м, нормаль к плоскости которых регулярно наводится на Солнце, и положение центра давления  $(-4.5, 5.4, 0)$  м рефлектора с диаметром 12 м, для простоты с одинаковыми отражающими свойствами его основной и тыльной сторон. Расчеты сил и моментов ССД выполнены на основе известной методики [13], результаты представлены на рис. 4 и рис. 5 для векторов момента ССД  $\mathbf{M}^s = \{m_i^s\}$  и импульса момента ССД  $\mathbf{IM}^s \equiv \mathbf{IM} = \{im_i\}$  с модулем  $|\mathbf{IM}| = im$ , когда указанный разворот выполняется с периодичностью 6.5 суток. В этих и последующих рисунках синий цвет связан с осью рыскания  $Ox$ , зеленый цвет – с осью крена  $Oy$ , а красный цвет – с осью тангажа  $Oz$ .

Анализ результатов для импульса момента только ССД позволяет оценить потребную об-

ласть вариации КМ кластера ЭМИО в виде шара радиусом 200 Нмс при выполнении указанных разворотов с периодичностью 6.5 суток. В целом потребная область вариации КМ ЭМИО оценивается шаром с радиусом 265 Нмс, что обеспечивается как кластером ДМ с максимальными значениями КМ 150 Нмс, так и кластером ГД с модулем КМ 150 Нмс. Требование к размерам потребной области вариации КМ ЭМИО можно уменьшить при выполнении разворотов корпуса КА с периодичностью  $\approx 3$  суток, если это допустимо для решения целевых задач спутника.

### АЛГОРИТМЫ ЦИФРОВОГО УПРАВЛЕНИЯ КЛАСТЕРОМ ЭМИО

Измерение углового положения и вектора угловой скорости корпуса КА выполняется СОУП в моменты времени  $t_s = s T_q$ ,  $s \in N_0 \equiv [0, 1, 2, \dots]$  с периодом  $T_q \leq T_u$ , кратным периоду  $T_u$  цифрового управления кластером ЭМИО. В эти же моменты времени  $t_s$  измеряются координаты ЭМИО – векторы-столбцы угловых скоростей ДМ  $\Omega_s$  либо углов поворота  $\beta_s$  ГД.

Для информационных спутников с симметричной упругой конструкцией хорошо зарекомендовал себя метод [11,12] формирования командного вектора  $\mathbf{M}_k^c$ ,  $k \in N_0$  для кластера ЭМИО, который затем распределяется по явным

аналитическим соотношениям для цифрового управления каждым ДМ либо ГД с периодом  $T_u$ . Здесь выполняется фильтрация значений векторов рассогласования  $\boldsymbol{\epsilon}_s = -\delta\phi_s = -2\mathbf{e}_{0s}\mathbf{e}_s$ , угловой скорости  $\boldsymbol{\omega}_s$ , координат ЭМИО  $\boldsymbol{\Omega}_s$  либо  $\boldsymbol{\beta}_s$ , которые используются для получения оценок  $\mathbf{H}_k^f$ ,  $\mathbf{G}_k^f = \mathbf{J}\boldsymbol{\omega}_k^f + \mathbf{H}_k^f$  и затем при формировании вектора  $\mathbf{M}_k^c$  управления кластером ДМ

$$\mathbf{g}_{k+1} = \mathbf{B}\mathbf{g}_k + \mathbf{C}\boldsymbol{\epsilon}_k^f; \quad \tilde{\mathbf{m}}_k = \mathbf{K}(\mathbf{g}_k + \mathbf{P}\boldsymbol{\epsilon}_k^f);$$

$$\mathbf{M}_k^c = \boldsymbol{\omega}_k^f \times \mathbf{G}_k^f + \mathbf{J}(\mathbf{C}_k^c \dot{\boldsymbol{\omega}}_k^f + [\mathbf{C}_k^c \boldsymbol{\omega}_k^p \times] \boldsymbol{\omega}_k^f + \tilde{\mathbf{m}}_k), \quad (2)$$

где при обозначениях  $d_u \equiv 2/T_u$ ,  $a \equiv (d_u\tau_1 - 1)/(d_u\tau_1 + 1)$  элементы диагональных матриц  $\mathbf{B}$ ,  $\mathbf{P}$  и  $\mathbf{C}$  вычисляются в виде  $a \equiv (d_u\tau_1 - 1)/(d_u\tau_1 + 1)$ ;  $p \equiv (1 - b)/(1 - a)$ ;  $c \equiv p(b - a)$  с настраиваемыми параметрами  $\tau_1$ ,  $\tau_2$  и  $k$  в составе диагональной матрицы  $\mathbf{K}$ .

Закон управления (2) является робастным и обеспечивает заданное качество переходных процессов для произвольного положения панелей СБ и допустимого значения накопленного КМ, а также слабую вариацию показателей качества при изменениях тензора инерции до  $\pm 5\%$  и низких частот колебаний конструкции до  $\pm 10\%$  от номинальных значений. Однако в случае информационных спутников с несимметричной упругой конструкцией на ГСО этот закон допускает неприемлемое квазистатическое угловое рассогласование, что обусловлено существенными значениями момента ССД  $\mathbf{M}^s$  с модулем  $\approx 0.003$  Нм. Для устранения этого недостатка закон управления (2) был модифицирован в двух аспектах:

1) на борту спутника на основе доступных измерений формируется оценка вектора момента ССД  $\hat{\mathbf{M}}_k^s$  с периодом  $T_u$ , где по явным аналитическим соотношениям вычисляются расчетные моменты ССД от рефлектора, панелей СБ и корпуса КА с учетом возможного их взаимного затенения, и далее полученная оценка вектора  $\hat{\mathbf{M}}_k^s$  добавляется с обратным знаком в правую часть последнего соотношения в (2), что обеспеч-

чивает прямую компенсацию влияния возмущающего момента ССД с точностью порядка 10%;

2) при дискретном формировании управления дополнительно используется векторный дискретный изодром с единичным коэффициентом усиления и постоянной времени  $\tau_0 > \tau_1$ , что обеспечивает астатизм первого порядка относительно внешнего возмущающего момента в каждом канале стабилизации углового движения спутника.

## АНАЛИЗ ДИНАМИКИ СУД В РЕЖИМЕ СТАБИЛИЗАЦИИ

Динамический анализ нелинейной непрерывно-дискретной модели СУД выполнен на основе компьютерной имитации средствами программной системы SIRUIS-S [14].

Анализировался режим угловой стабилизации информационного спутника с описанной выше несимметричной упругой конструкцией в ОСК при цифровом управлении как кластером четырех ДМ, так и кластером четырех ГД с периодом управления  $T_u = 4$  с при периоде измерения  $T_q = 1$  с.

На рис. 6 приведены переходные процессы в СУД при начальных условиях  $\phi_i(0) = 60$  угл. сек и рассогласованиях по угловой скорости  $\delta\omega_i(0) = 0$ . При этом для каждого ДМ на основе алгоритмов [6] выполнялись текущая идентификация моментов сил сухого трения  $m_p^f$  с предельными значениями  $\pm 0.002$  Нм с получением оценок  $\hat{m}_p^f$  и алгоритмическая компенсация влияния этих моментов. На рис. 7 представлены погрешности стабилизации корпуса упругого КА по углам, рассогласования по угловым скоростям, а также погрешность  $\delta m_1^f = m_1^f - \hat{m}_1^f$  идентификации момента  $m_1^f$  сил сухого трения по оси вращения первого ДМ в процессе изменения скорости его вращения в окрестности момента времени  $t = 410$  с.

Рис. 8 и рис. 9 представляют погрешности угловой стабилизации КА в процессе завершения переходного процесса. Здесь следует обра-

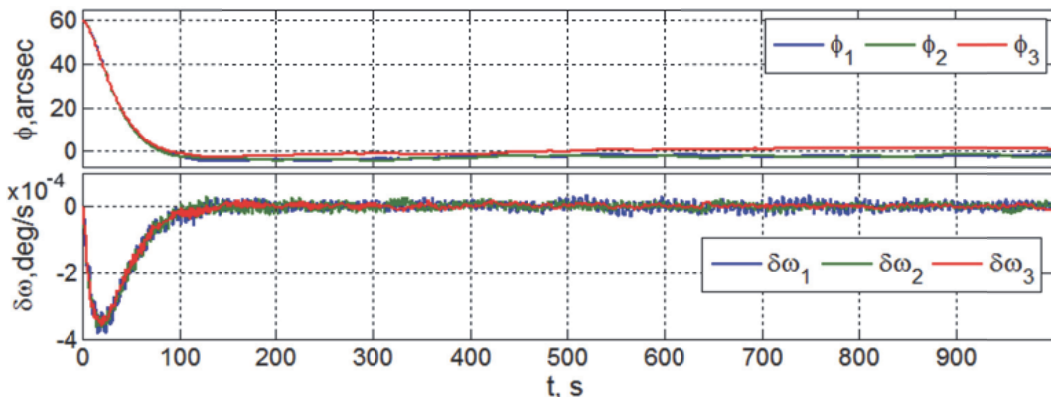


Рис. 6. Переходные процессы в СУД при заданных начальных условиях

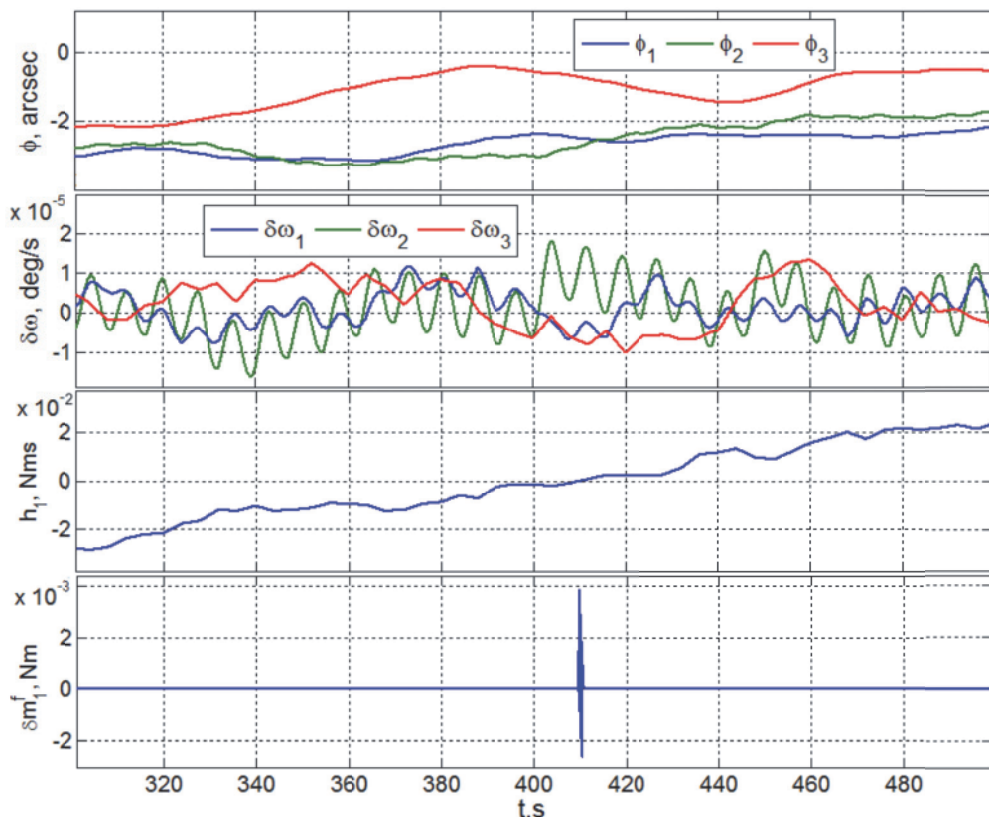


Рис. 7. Процессы при компенсации момента сил сухого трения в первом ДМ

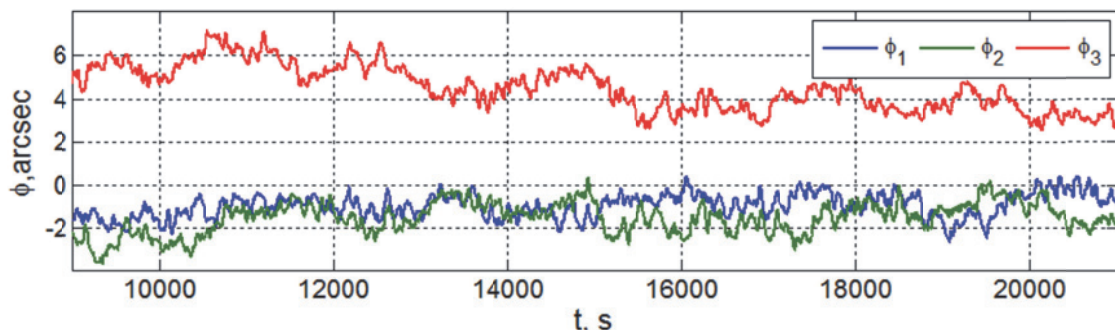


Рис. 8. Переходные процессы при включении дискретного изодрома

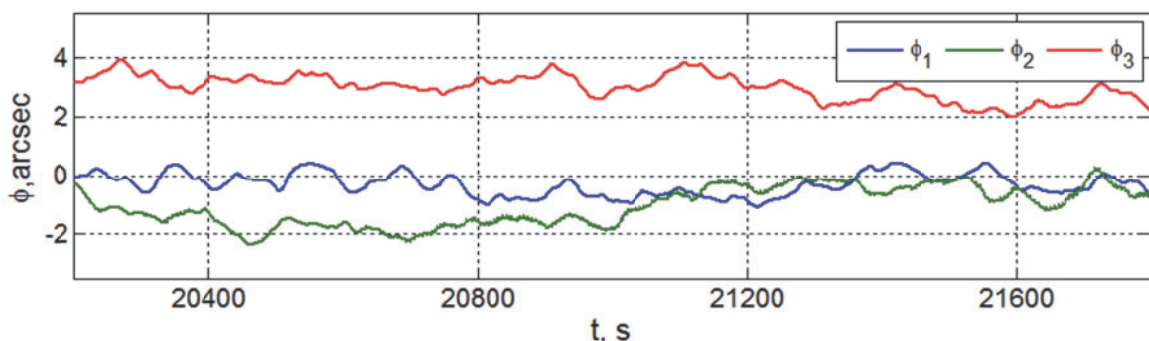


Рис. 9. Угловые рассогласования в установившемся режиме угловой стабилизации спутника

тить особое внимание на переходный процесс по каналу тангажа (красный цвет), приведенный на рис. 9, где демонстрируется эффект компенсации гравитационного момента, вносимый дискретным изодромом с постоянной времени  $\tau_0 = 8\tau_1$ .

## ЗАКЛЮЧЕНИЕ

Кратко рассмотрены новые актуальные задачи исследования СУД информационного спутника с несимметричной конструкцией на ГСО. При 15-летней длительности потребного

САС спутника и существенном влиянии внешнего возмущающего момента как от сил солнечного давления, так и гравитационных сил, первоочередная задача состояла в разработке рационального подхода, позволяющего исключить большие затраты рабочего тела ДУ для разгрузки кластера ЭМИО от накопленного кинетического момента.

В предложенном подходе для частичной компенсации влияния ССД предусмотрено выполнение разворота корпуса спутника на угол 180 градусов вокруг оси  $Ox$  ССК с периодичностью около 1 недели. Такой разворот необходимо выполнять в течение получаса с обеспечением слабого возбуждения упругих колебаний конструкции спутника и гладкого сопряжения краевых условий поворотного маневра по квaternionу ориентации, векторам угловой скорости и углового ускорения, а также по производной вектора углового ускорения в момент времени завершения поворотного маневра.

Получены оценки размеров потребной области вариации кинетического момента кластера ЭМИО, необходимых для поглощения возмущающих моментов как только от сил солнечного давления, так и с учетом влияния гравитационных сил. Полученные результаты послужили основанием для определения потребных значений кинетических моментов кластеров ЭМИО с применением как двигателей-маховиков, так и гиродинов.

Разработаны алгоритмы цифрового управления кластерами ЭМИО в классе комбинированных законов управления, где используются текущая оценка вектора возмущающего момента от сил солнечного давления и векторный дискретный изодром, который обеспечивает астатизм первого порядка относительно внешнего возмущающего момента. В случае использования кластера двигателей-маховиков применены дискретные алгоритмы идентификации и автоматической компенсации влияния моментов сил сухого трения по осям их вращения.

Выполнен предварительный динамический анализ СУД в режиме угловой стабилизации КА в орбитальной системе координат и приведены результаты, которые демонстрируют эффективность разработанных алгоритмов. Для информационного геостационарного КА с крупногабаритной несимметричной конструкцией имеются также другие важные проблемы динамического проектирования СУД, где особо следует выделить два аспекта:

1) расположение центра масс КА относительно полюса ССК изменяется как за счет эпизодического расхода топлива двигательной установки, так и из-за колебаний крупногабаритного рефлектора, вынесенного на протяженной упругой штанге относительно корпуса спутника;

2) измерительные системы и исполнительные органы СУД «привязаны» к ССК, ориентация которой отличается от углового положения крупногабаритного рефлектора, применяемого для информационного обслуживания заданных наземных объектов.

Исследование этих важных проблем предусмотрено в дальнейшей работе авторов.

## СПИСОК ЛИТЕРАТУРЫ

1. Ni Z., Mu R., Xun G., Wu Z. Time-varying modal parameters identification of a spacecraft with rotating flexible appendage by recursive algorithm // Acta Astronautics. 2016. Vol. 118. P. 49-61.
2. In-orbit Control Experiment on ETS-VIII Spacecraft // JAXA Research and Development Report no. JAXA-RR-12-002E. 2012. 104 p.
3. Лурье А.И. Аналитическая механика. М.: Физматлит, 1961. 824 с.
4. Платонов В.Н. Одновременное управление движением центра масс и вокруг центра масс при маневрах космических аппаратов на геостационарной и высокояеллиптических орбитах с использованием электрореактивных двигателей // Космическая техника и технологии. 2013. №1. С. 56-65.
5. Сомов С.Е. Широтно-импульсное управление электрореактивными двигателями при коррекции орбитального движения спутника // Известия Самарского научного центра РАН. 2015. Том 17. № 6(3). С. 713-720.
6. Сомов Е.И., Бутырин С.А., Сомов С.Е. Адаптивноробастное управление пространственным движением малого спутника // Материалы 23 Санкт-Петербургской международной конференции по интегрированным навигационным системам. СПб.: Концерн ЦНИИ «Электроприбор». 2016. С. 288 – 296.
7. Сомов Е.И. Многократные алгоритмы фильтрации, интегрирования и калибровки беспилотной инерциальной навигационной системы определения ориентации космического аппарата // Материалы 16 Санкт-Петербургской международной конференции по интегрированным навигационным системам. СПб.: Концерн ЦНИИ «Электроприбор». 2009. С. 103-105.
8. Сомов Е.И., Бутырин С.А. Калибровка и юстировка астроинерциальной системы для определения ориентации крупногабаритного информационного спутника // Материалы 4 Российской мультиконференции по проблемам управления. Таганрог: Изд-во ТТИ ЮФУ. 2011. Том 2. С. 403-406.
9. Сомов С.Е. Юстировка и калибровка информационно-измерительной системы для определения ориентации спутника землеобзора и его наблюдательного оборудования // Известия Самарского научного центра РАН. 2018. Том 20. № 1. С. 87-95.
10. Сомов Е.И. Анализ сингулярных состояний и синтез явных законов настройки гирокомплексов кратных схем // Гирокопия и навигация. 2013. № 1(80). С. 134-148.
11. Somov Ye., Rayevsky V., Titov G., Yakimov Ye. Attitude & orbit digital and pulse-width control of large-scale communication spacecraft // Proceedings of 19th IFAC Symposium on Automatic Control in Aerospace.

2013. P. 366-371.
12. Сомов Е.И., Бутырин С.А., Сомов С.Е. Адаптивно-робастное управление ориентацией спутника с усиленным подавлением влияния упругих колебаний его конструкции // Материалы конференции «Управление в морских и аэрокосмических системах». СПб.: Концерн ЦНИИ «Электроприбор». 2014. С. 533 – 544.
13. Поляхова Е.Н. Космический полет с солнечным парусом. М.: Наука. 2011. 320 с.
14. Сомов Е.И., Бутырин С.А., Сомова Т.Е. Программная среда SIRIUS-S для автоматизированного проектирования систем управления ориентацией малых информационных спутников // Материалы 20 Санкт-Петербургской международной конференции по интегрированным навигационным системам. СПб.: Концерн ЦНИИ «Электроприбор». 2013. С. 268-271.

## STABILIZATION OF A SPACECRAFT WITH ASYMMETRIC ELASTIC DESIGN IN GEOSTATIONARY ORBIT

© 2019 S.Ye. Somov<sup>1,2</sup>, T.Ye. Somova<sup>2</sup>

<sup>1</sup> Samara Federal Research Center, Russian Academy of Sciences

<sup>2</sup> Samara State Technical University

Approaches to the study of priority problems of long-term angular stabilization of information satellites and space robots with asymmetric elastic design in geostationary orbit are analyzed.

**Keywords:** spacecraft, asymmetric flexible design, geostationary orbit, stabilization.

---

Sergey Somov, Researcher of Department “Dynamics and Motion Control”, Samara Scientific Center, Russian Academy of Sciences; Researcher of Department “Navigation, Guidance, and Motion Control”, Research Institute for Problems of Mechanical Systems Reliability, Samara State Technical University. E-mail s\_somov@mail.ru

Tatyana Somova, Researcher of Department “Navigation, guidance, and motion control”, Research Institute for Problems of Mechanical Systems Reliability, Samara State Technical University. E-mail te\_somova@mail.ru